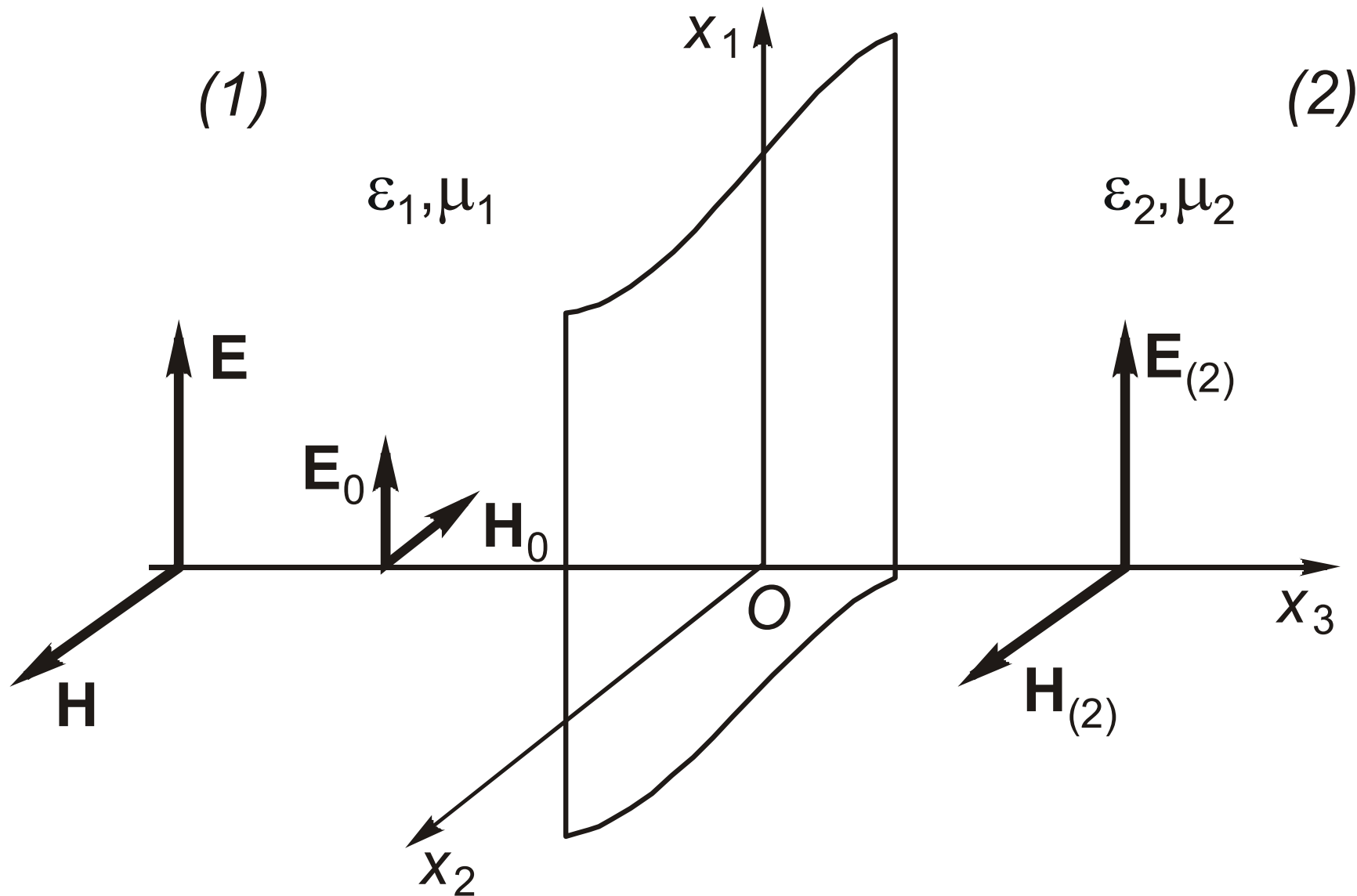


# Электродинамика и распространение радиоволн

## Лекция 10

Русов Юрий Сергеевич

### 3.4 Нормальное падение электромагнитного поля на границу раздела двух сред



## Нормальное падение на границу раздела сред

Плоскость  $x_1 O x_2$  разделяет две однородные линейные изотропные среды без потерь с параметрами

$$\varepsilon_1, \mu_1, Z_{01} = \sqrt{\frac{\mu_{a1}}{\varepsilon_{a1}}}, \quad \varepsilon_2, \mu_2, Z_{02} = \sqrt{\frac{\mu_{a2}}{\varepsilon_{a2}}}.$$

$$\theta = 0^\circ$$

согласно закону Снеллиуса  $\vartheta_n = 0$ .

## Нормальное падение на границу раздела сред

Формулы Френеля для коэффициентов отражения и прохождения по электрическому полю

при  $x_3 = 0$ ,

$$\Gamma_E = \frac{\dot{E}_{m0}}{E_m} = \frac{Z_{02} - Z_{01}}{Z_{02} + Z_{01}} = \Gamma,$$

$$P_E = \frac{\dot{E}_{m(2)}}{E_m} = \frac{2Z_{02}}{Z_{02} + Z_{01}} = P,$$

по магнитному полю

$$\Gamma_H = \frac{\dot{H}_{m0}}{H_m} = -\Gamma, \quad P_H = \frac{\dot{H}_{m(2)}}{H_m} = \frac{2Z_{01}}{Z_{02} + Z_{01}} = \frac{Z_{01}}{Z_{02}} P.$$

## Нормальное падение на границу раздела сред

$Z_{02} \neq Z_{01}$ , поле в первой среде

$$\left. \begin{aligned} \dot{\mathbf{E}}_{m(1)} &= \mathbf{e}_1 E_m (e^{-i k_{(1)} x_3} + \Gamma e^{i k_{(1)} x_3}) = \\ &= \mathbf{e}_1 E_m [(1 - \Gamma) e^{-i k_{(1)} x_3} + 2\Gamma \cos k_{(1)} x_3], \\ \dot{\mathbf{H}}_{m(1)} &= \mathbf{e}_2 H_m (e^{-i k_{(1)} x_3} - \Gamma e^{i k_{(1)} x_3}) = \\ &= \mathbf{e}_2 H_m [(1 + \Gamma) e^{-i k_{(1)} x_3} - 2\Gamma \cos k_{(1)} x_3]. \end{aligned} \right\}$$

(3.25)

## Нормальное падение на границу раздела сред

Поле в первой среде можно представить как сумму бегущей и стоячей волн.

Амплитуда электрического поля в первой среде

$$E_{m(1)} = E_m \sqrt{1 + \Gamma^2 + 2\Gamma \cos 2k_{(1)}x_3} .$$

(3.26)

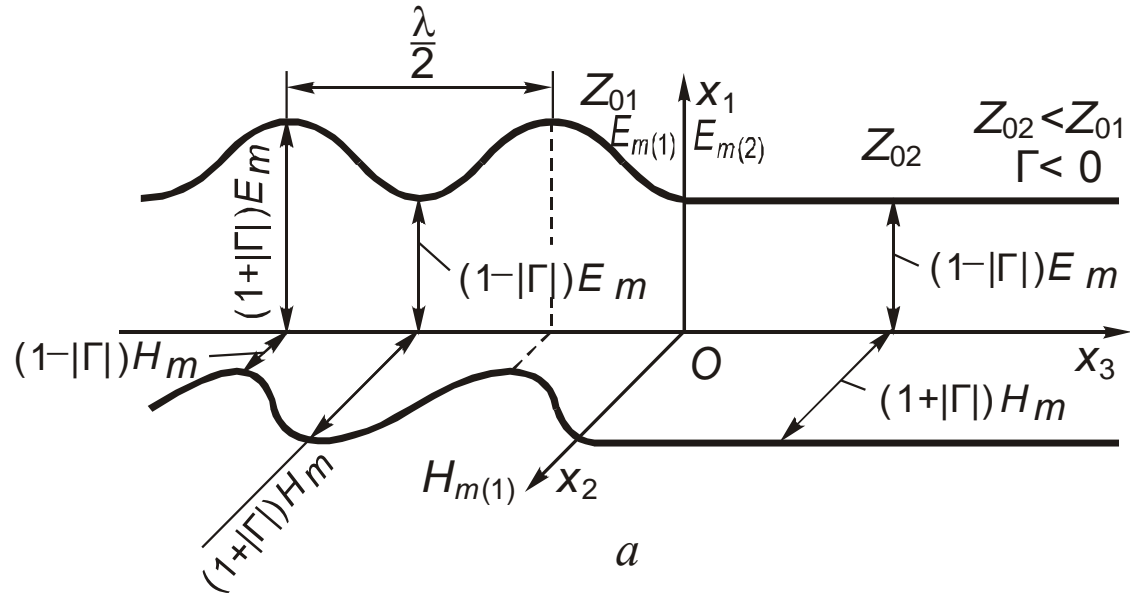
Амплитуда магнитного поля в первой среде

$$H_{m(1)} = H_m \sqrt{1 + \Gamma^2 - 2\Gamma \cos 2k_{(1)}x_3} .$$

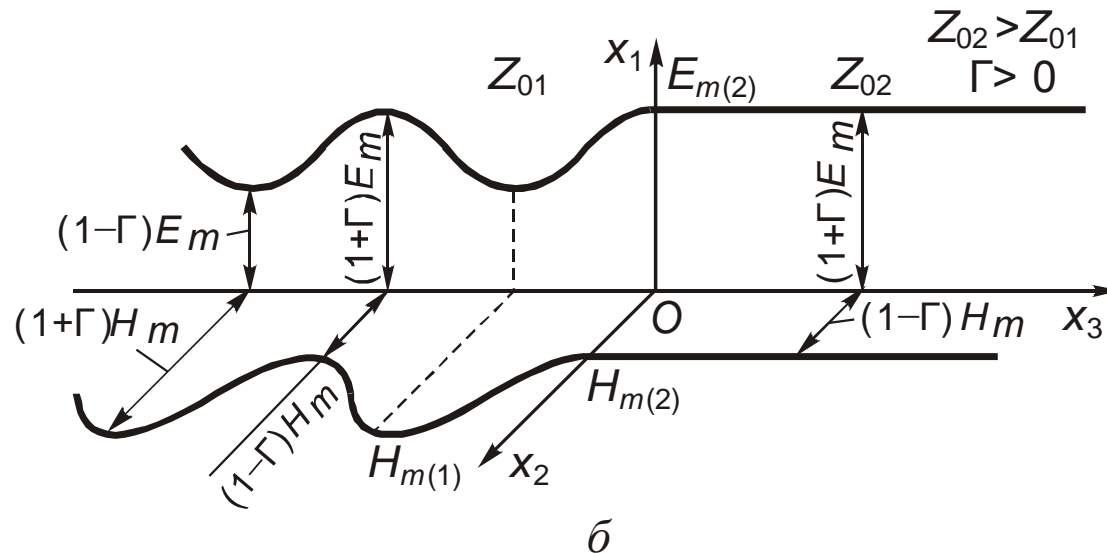
(3.27)

# Нормальное падение на границу раздела сред

Распределение амплитуд поля при нормальном падении на границу двух сред



$$Z_{02} < Z_{01},$$



$$Z_{02} > Z_{01}$$

## Нормальное падение на границу раздела сред

При резком различии  $Z_{01}$  и  $Z_{02}$  амплитуды  $E_{m(1)}$  и  $H_{m(1)}$  периодически спада-ют до нуля (стоячая волна). Расстояния между соседними максимумами или минимумами равны  $\lambda/2$ , где  $\lambda$  — длина волны в первой среде.

$$E_{m(1) \text{ макс}} = (1 + |\Gamma|)E_m,$$

$$H_{m(1) \text{ макс}} = (1 + |\Gamma|)H_m,$$

$$E_{m(1) \text{ мин}} = (1 - |\Gamma|)E_m,$$

$$H_{m(1) \text{ мин}} = (1 - |\Gamma|)H_m.$$



## Нормальное падение на границу раздела сред

Во второй среде распространяется бегущая волна, амплитуда которой не зависит от координаты  $x_3$ .

$$\dot{\mathbf{E}}_{m(2)} = \mathbf{e}_1 P E_m e^{-i k_{(2)} x_3},$$

$$\dot{\mathbf{H}}_{m(2)} = \mathbf{e}_2 \frac{Z_{01}}{Z_{02}} P H_m e^{-i k_{(2)} x_3}.$$

## Нормальное падение на границу раздела сред

Для характеристики поля в первой среде при наличии отражения применяется коэффициент стоячей волны по напряженности

$$K_{\text{свн}} = \frac{E_{m \text{ макс}}}{E_{m \text{ мин}}} = \frac{1 + |\Gamma|}{1 - |\Gamma|} > 1$$

Обратная величина называется коэффициентом бегущей волны по напряженности

$$K_{\text{бвн}} = \frac{1 - |\Gamma|}{1 + |\Gamma|} < 1$$

## *Нормальное падение на границу раздела сред*

Радиолокатор обнаруживает цель по отраженной волне. Если подобрать материал так, что

$$\sqrt{\mu_a / \varepsilon_a} = \sqrt{\mu_0 / \varepsilon_0},$$

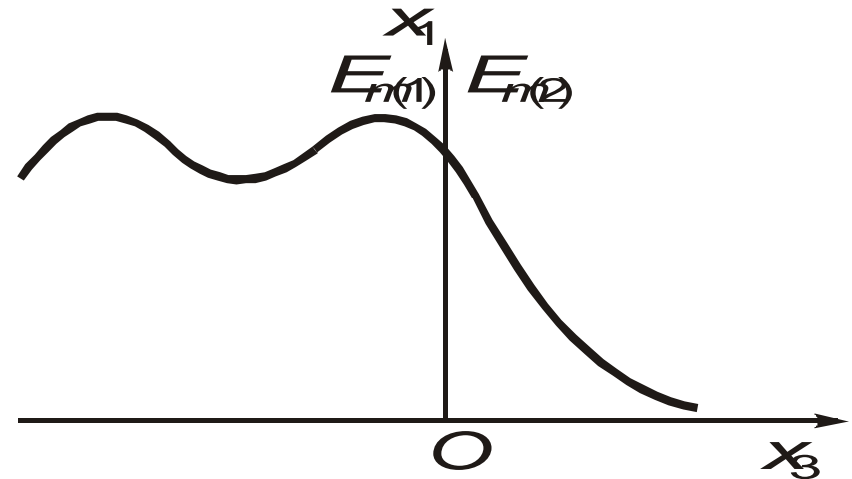
то пластина из такого материала при нормальном падении на нее волны будет «невидимой» для радиолокатора.

## Нормальное падение на границу раздела сред

Рассмотрим случай, когда плоская волна падает из среды без потерь нормально к плоскости раздела со средой с потерями.

$Z_{02}$  комплексная величина, коэффициент отражения комплексный и волна при отражении меняет не только амплитуду, но и фазу. Амплитуда волны во второй среде затухает по экспоненте.

$$\dot{\Gamma} = \frac{\dot{Z}_{02} - Z_{01}}{\dot{Z}_{02} + Z_{01}} = \Gamma e^{i\varphi}$$



## Нормальное падение на границу раздела сред

Если среда обладает потерями из-за проводимости, то ее характеристическое сопротивление

$$\dot{Z}_{02} = \sqrt{\frac{\mu_{a2}}{\tilde{\varepsilon}_{a2}}} = \sqrt{\frac{\mu_{a2}}{\varepsilon'_{a2} - i \frac{\sigma_2}{\omega}}}.$$

В случае проводника

$$\dot{Z}_{02} = \sqrt{\frac{i \omega \mu_{a2}}{\sigma_2}} = \sqrt{\frac{\omega \mu_{a2}}{\sigma_2}} e^{i \frac{\pi}{4}} = |Z_{02}| e^{i \frac{\pi}{4}}$$

## Нормальное падение на границу раздела сред

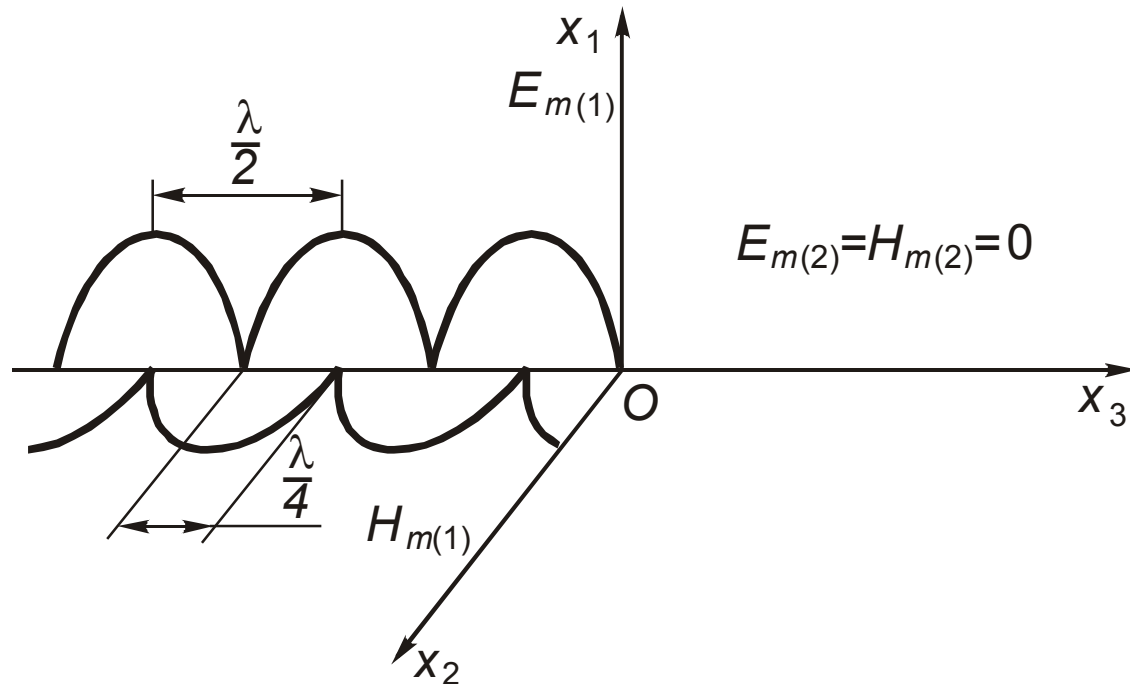
Если вторая среда идеально проводящая, поле не проходит во вторую среду.

Поле в первой среде

$$\dot{\mathbf{E}}_{m(1)} = -\mathbf{e}_1 i 2E_m \sin k_{(1)} x_3,$$

$$\dot{\mathbf{H}}_{m(1)} = \mathbf{e}_2 2H_m \cos k_{(1)} x_3.$$

Магнитное и электрическое поля сдвинуты во времени на  $90^\circ$  и представляют стоячую волну.



### 3.5 Нормальное падение электромагнитного поля на движущуюся плоскость раздела. Эффект Доплера

Рассмотрим отражение и преломление плоской электромагнитной волны, падающей на плоскость раздела, перемещающуюся со скоростью  $v$  в направлении оси  $x_3$ .  $v \ll c$ .

Поле падающей волны  $\dot{\mathbf{E}} = \mathbf{e}_1 E_m e^{i(\omega t - k_{(1)} x_3)}$ ,

Поле отраженной волны  $\dot{\mathbf{E}}_0 = \mathbf{e}_1 E_{m0} e^{i(\omega_0 t + k_{(1)0} x_3)}$ ,

Поле прошедшей волны  $\dot{\mathbf{E}}_{(2)} = \mathbf{e}_1 E_{m(2)} e^{i(\omega_2 t - k_{(2)} x_3)}$ .

## Эффект Доплера

На плоскости раздела выполняется граничное условие

$$E_{\tau(1)} = E_{\tau(2)}$$

С учетом  $x_3 = vt$

$$\begin{aligned} E_m e^{i(\omega - k_{(1)}v)t} + E_{m0} e^{i(\omega_0 + k_{(1)0}v)t} &= \\ &= E_{m(2)} e^{i(\omega_2 - k_{(2)}v)t} . \end{aligned}$$



## Эффект Доплера

Чтобы это условие выполнялось в любой момент времени  $t$ , необходимо

$$\omega - k_{(1)} v = \omega_0 + k_{(1)0} v = \omega_2 - k_{(2)} v. \quad (3.28)$$

Если первая среда воздух, то

$$k_{(1)} = \frac{\omega}{c}, \quad k_{(1)0} = \frac{\omega_0}{c}. \quad (3.29)$$

## Эффект Доплера

Вторая среда движется со скоростью  $v$ .

Так как эта скорость мала, то можно считать, что волна движется относительно этой среды со скоростью

$$V_{(2)} - v \approx V_{(2)}$$

$$k_{(2)} = \frac{\omega_2}{V_{(2)}} = \omega_2 \sqrt{\epsilon_{a2} \mu_{a2}}. \quad (3.30)$$

Подставляя (3.29) и (3.30) в (3.28)

$$\omega \left( 1 - \frac{v}{c} \right) = \omega_0 \left( 1 + \frac{v}{c} \right) = \omega_2 \left( 1 - \frac{v}{V_{(2)}} \right)$$

## Эффект Доплера

$$\left. \begin{aligned} \omega_0 &\approx \omega \left( 1 - 2 \frac{v}{c} \right), \\ \omega_2 &\approx \omega \left[ 1 + \frac{v}{c} (\sqrt{\varepsilon_2 \mu_2} - 1) \right]. \end{aligned} \right\} \quad (3.31)$$

При обратном направлении движения

$$\left. \begin{aligned} \omega_0 &\approx \omega \left( 1 + 2 \frac{v}{c} \right), \\ \omega_2 &\approx \omega \left[ 1 - \frac{v}{c} (\sqrt{\varepsilon_2 \mu_2} - 1) \right]. \end{aligned} \right\} \quad (3.32)$$

## Эффект Доплера

(3.31) и (3.32) выражают **эффект Доплера**:

частота отраженной и прошедшей волны при движении границы раздела отличается от частоты падающей волны.

В результате этого суммарное поле падающей и отраженной волны имеет изменяющуюся во времени амплитуду, т. е. возникают биения.

Частота биений

$$f_{\text{б}} = \frac{|\omega - \omega_0|}{2\pi} = f \frac{2v}{c}.$$

### 3.6 Поверхностный эффект

Согласно закону Снеллиуса преломленная волна при любом угле падения на проводящую среду распространяется нормально к плоскости раздела сред.

$$k_{(2)} = \beta - i\alpha,$$

$$\alpha = \beta = \sqrt{\frac{\omega\mu_{a2}\sigma_2}{2}},$$

поле прошедшей волны

$$\left. \begin{aligned} \dot{\mathbf{E}}_{m(2)} &= \mathbf{e}_1 \dot{P} E_m e^{-\alpha x_3} e^{-i\beta x_3}, \\ \dot{\mathbf{H}}_{m(2)} &= \mathbf{e}_2 \frac{Z_{01}}{Z_{02}} \dot{P} H_m e^{-\alpha x_3} e^{-i\beta x_3}. \end{aligned} \right\} \quad (3.33)$$

## Поверхностный эффект

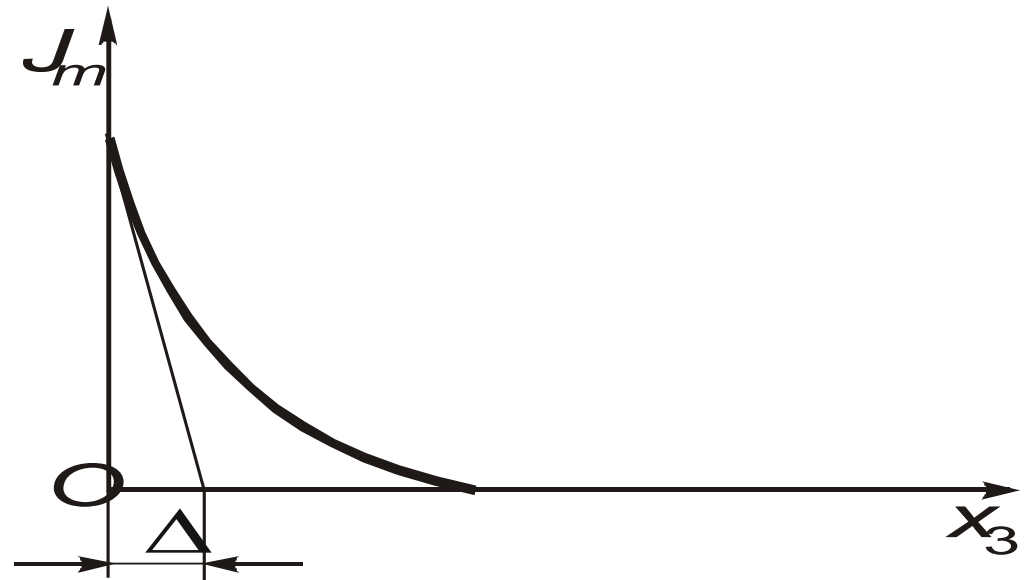
Электромагнитное поле проникает во вторую среду, убывая по экспоненте. Это поле вызывает во второй среде ток, плотность которого

$$\mathbf{J}_{(2)} = \sigma_2 \mathbf{E}_{(2)},$$

$$\dot{\mathbf{J}}_{m(2)} = \mathbf{e}_1 \dot{P} E_m \sigma_2 e^{-\alpha x_3} e^{-i \beta x_3}$$

амплитудное значение

$$J_{m(2)} = P E_m \sigma_2 e^{-\alpha x_3}.$$



## Поверхностный эффект

Расстояние, на котором амплитуда уменьшается в  $e$  раз, называется глубиной проникновения или толщиной скин-слоя.

$$\Delta = \sqrt{\frac{2}{\omega \mu_{a2} \sigma_2}}.$$

Комплексная амплитуда тока, текущего через пластину шириной в 1 м

$$\dot{I}_{m(2)} = \int_0^{\infty} \sigma_2 \dot{E}_{m(2)} dx_3,$$

## Поверхностный эффект

$$\begin{aligned} \dot{I}_{m(2)} &= \sigma_2 E_{m(2)}(x_3 = 0) \int_0^{\infty} e^{-\frac{1}{\Delta} x_3} e^{-i \frac{1}{\Delta} x_3} dx_3 = \\ &= \frac{\sigma_2 E_{m(2)}(x_3 = 0) \Delta}{1 + i} = \frac{J_{m(2)}(x_3 = 0) \Delta}{1 + i}, \end{aligned}$$

При сильном скин-эффекте  $\Delta$  мало, и ток сосредоточен в поверхностном слое.



## Поверхностный эффект

Поверхностное сопротивление проводника  $Z_s$  (Ом/□) — отношение комплексной амплитуды напряженности электрического поля на поверхности проводника к току, рассчитанному на единицу ширины пластины.

Поверхностное сопротивление — это сопротивление квадрата поверхности, не зависящее от размера его стороны

$$Z_s = \frac{\dot{E}_{m(2)}(x_3 = 0)}{\dot{I}_{m(2)}},$$

$$Z_s = \frac{1}{\sigma_2 \Delta} (1 + i),$$

## Поверхностный эффект

$Z_S$  состоит из равных активного и реактивного сопротивления

$$R_S = X_S = \frac{1}{\sigma_2 \Delta} = \sqrt{\frac{\omega \mu_{a2}}{2 \sigma_2}} = \sqrt{\frac{\pi f \mu_{a2}}{\sigma_2}}.$$

Действительная  $R_S$  определяет потери на джоулево тепло,

мнимая  $X_S$  определяет индуктивность, обусловленную внутренним магнитным полем в проводнике.

## Поверхностный эффект

Эти результаты приближенно справедливы для проводников любой формы, если радиус кривизны их много больше глубины проникновения тока в проводник.

Для круглого провода радиуса  $a$  ( $a \gg \Delta$ ) активное сопротивление единицы длины провода на высоких частотах

$$R_f = \frac{R_s}{2\pi a} = \frac{1}{2\pi a} \sqrt{\frac{\pi f \mu_{a2}}{\sigma_2}}.$$

При постоянном токе сопротивление единицы длины провода

$$R_0 = \frac{1}{\sigma_2 \pi a^2}.$$

## Поверхностный эффект

Влияние поверхностного эффекта на сопротивление значительно в проводах большого сечения.

$$\frac{R_f}{R_0} = \frac{a}{2} \sqrt{\pi f \mu_{a2} \sigma_2}$$

## Поверхностный эффект

В серебряном проводе радиусом 2 мм на частоте 300МГц сопротивление  $R_f$  в 250 раз больше, чем на постоянном токе.

Для уменьшения сопротивления переменному току сплошные проводники заменяют совокупностью изолированных друг от друга более тонких проводников (**литцендрат**).

Для уменьшения активного сопротивления на высоких частотах поверхность проводника часто покрывается серебром, имеющим бóльшую проводимость.

На высоких частотах центральная часть сечения проводника практически не используется и для уменьшения веса и экономии металла проводники можно выполнять полыми.

## **4 Электромагнитные волны в линиях передачи**

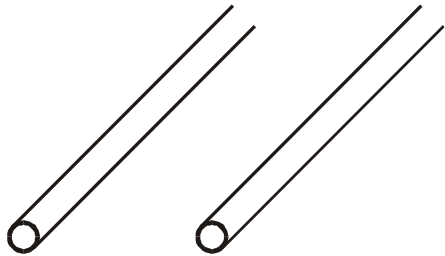
### **4.1 Направляющие системы**

Электромагнитная энергия высокой частоты передается на большие расстояния излучающими системами, диаграмма направленности которых формируется в дальней зоне.

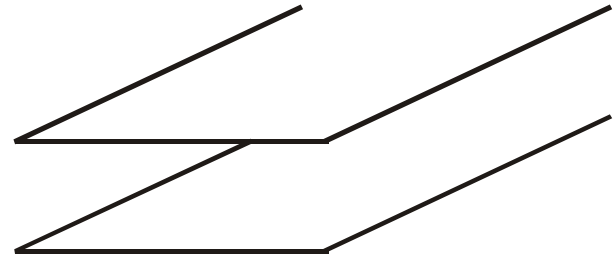
Передачу энергии высокой частоты на короткие расстояния и низкой частоты на большие расстояния осуществляют направляющие системы, основанные на способности металлической поверхности и границы двух диэлектриков направлять движение волны.

# Направляющие системы

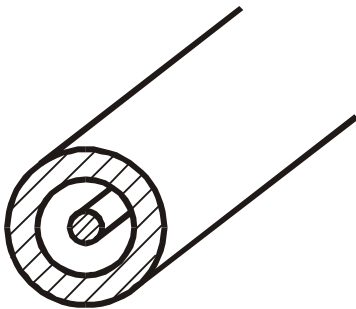
Двухпроводная линия



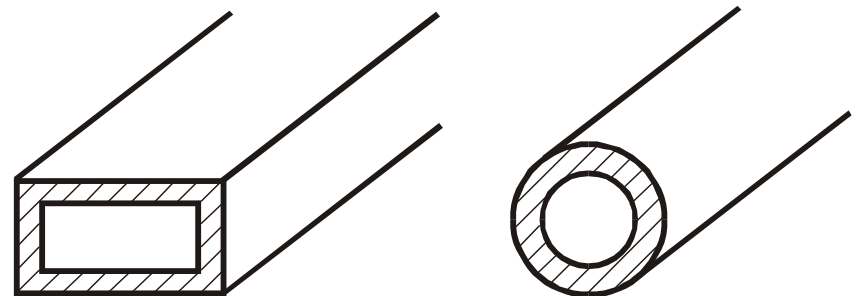
Ленточная линия



Коаксиальная линия



Металлические волноводы



## Направляющие системы

Энергию постоянного и переменного тока можно передать с помощью двухпроводной линии. При этом провода играют роль осей, направляющих энергию от источника к нагрузке, а не роль труб, в которых эта энергия «протекает». Энергия концентрируется около поверхности проводов в окружающем диэлектрике. Энергия, входящая в проводник, движется не вдоль оси проводника, а перпендикулярно к его поверхности и расходуется на компенсацию потерь, возникающих из-за столкновения электронов с кристаллической решеткой.

С повышением частоты производные  $\frac{\partial D}{\partial t}$  и  $\frac{\partial B}{\partial t}$

в уравнениях Максвелла возрастают, при этом возникают потери на излучение.



## *Направляющие системы*

Чтобы уменьшить потери на излучение, применяют систему в виде двух лент (ленточная линия) или коаксиальную систему, когда один провод превращается в трубку, а другой размещается внутри этой трубки. В последнем случае потери на излучение возникают лишь из-за неисправностей (отверстий) внешней оплетки кабеля. Энергия в кабеле концентрируется около внутреннего провода, и потери определяются потерями в этом проводнике. С возрастанием частоты эти потери возрастают, и коаксиальную систему целесообразно заменить волноводной в виде металлического прямоугольного или круглого волновода.

## *Направляющие системы*

Волноводы используются на сверхвысоких частотах (сантиметровые (10 ... 1 см) или миллиметровые волны (10 ... 1 мм)). В этом диапазоне для передачи энергии иногда применяют диэлектрические волноводы, использующие способность границы раздела двух диэлектрических сред при полном отражении направлять движение энергии электромагнитной волны. Применение этих волноводов ограничено потерями в диэлектрике.

В оптическом диапазоне используют диэлектрические (стеклянные) волноводы-нити (световоды).